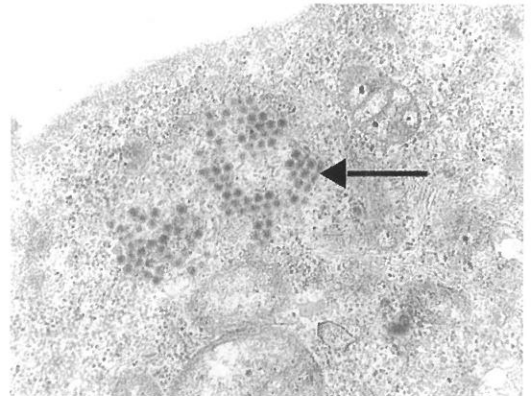
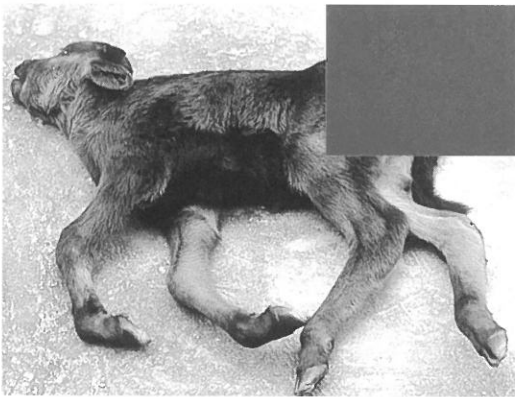


牛流行熱ウイルス接種哺乳マウスに
みられる神経症状



ブルータングウイルスの電子顕微鏡像



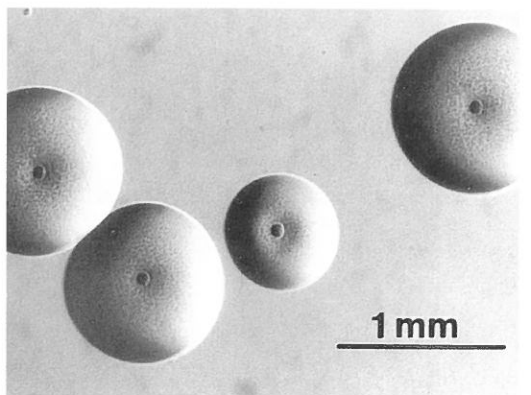
前腕屈曲を呈するアカバネ病子牛
(流産胎児から分離したアカバネウイルス
によるCPE; 右上)



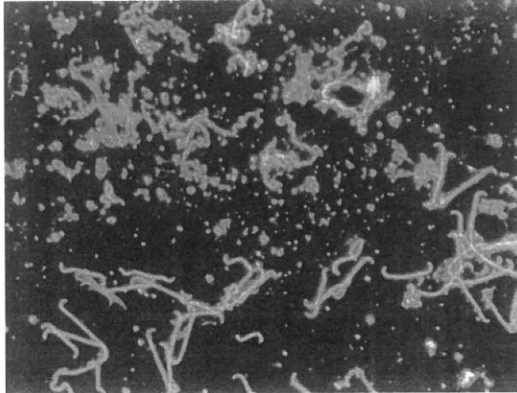
盲腸扁桃部の点状出血
(ニューカッスル病発症鶏)



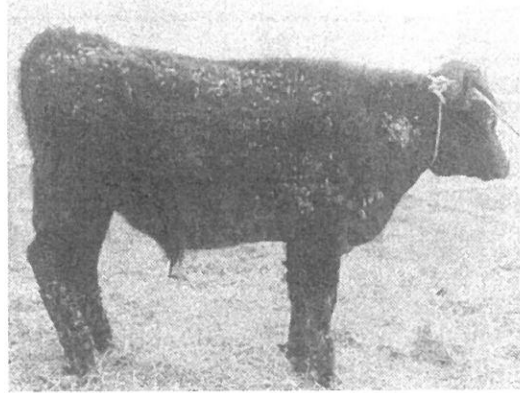
ヤギに発生したマイコプラズマによる四肢
関節の重度の腫張



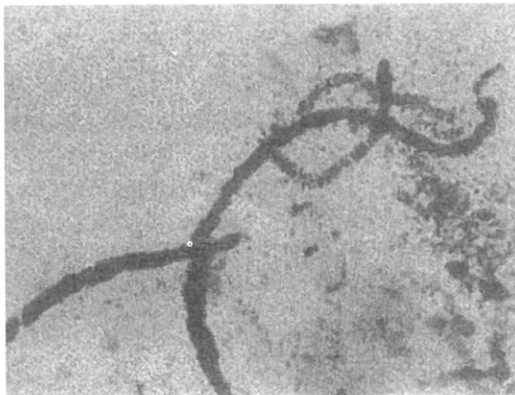
山羊由来マイコプラズマのコロニー



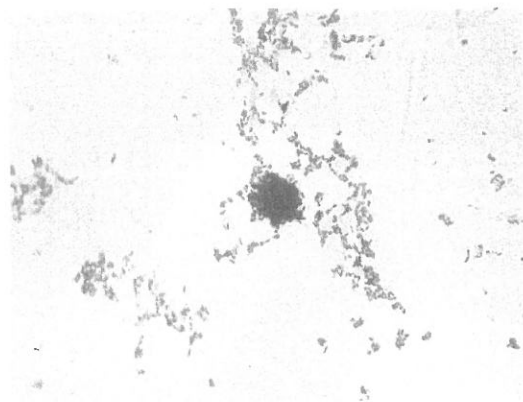
Fletcher培地に増殖したLeptospira
(暗視野照明)



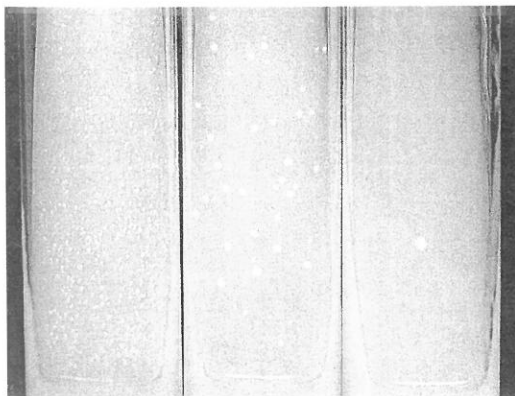
全身に痂皮形成が認められるデルマト
トフィルス症の牛



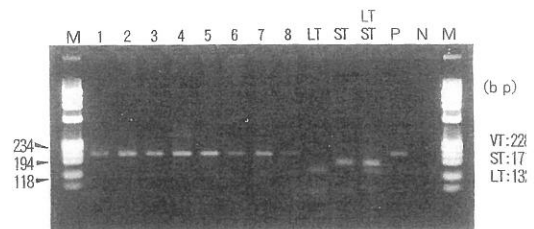
デルマトフィルス症の皮膚スタンプ、
菌糸とZoospore × 1,000



バイカジカ由来ヨーネ菌

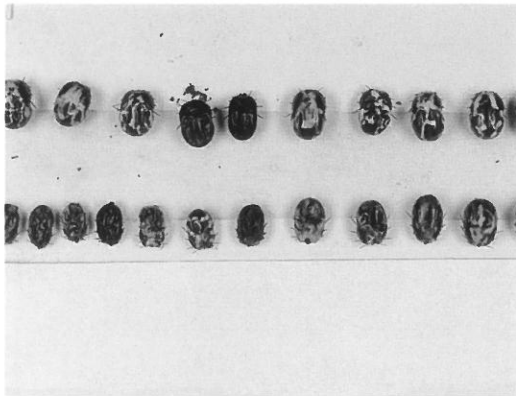


バイカジカ由来ヨーネ菌コロニー

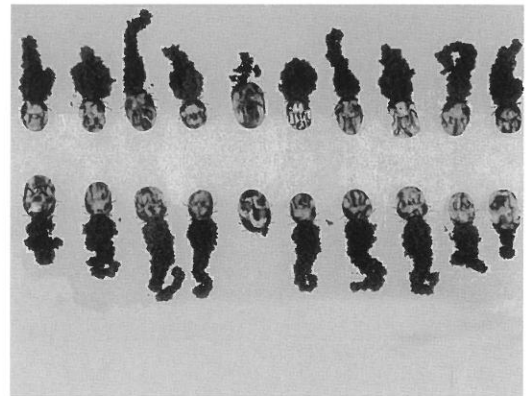


レーンM: 分子量マーカー
 レーン1~8: 被検菌株
 レーンLT: 毒素原性大腸菌LT産生株
 レーンST: 毒素原性大腸菌ST産生株
 レーンLT ST: 毒素原性大腸菌LT ST産生株
 レーンP: 陽性コントロール レーンN: 陰性コントロール

混合プライマーを用いた
 Vero毒素遺伝子の検出

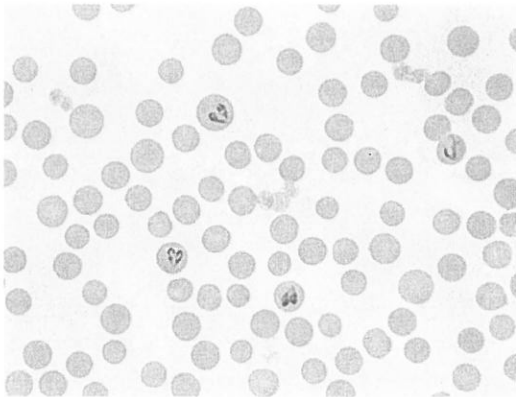


バイチコール処置牛由来飽血成ダニ
(14日目)

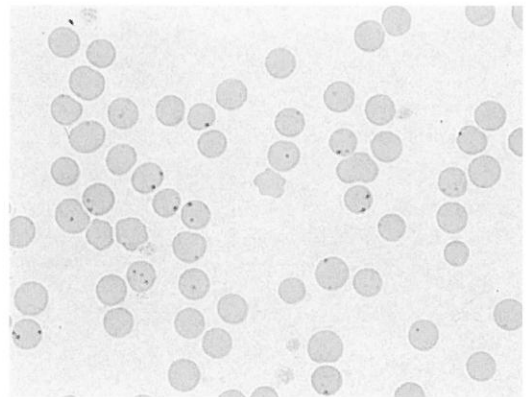


対象牛由来飽血成ダニ
(14日目)

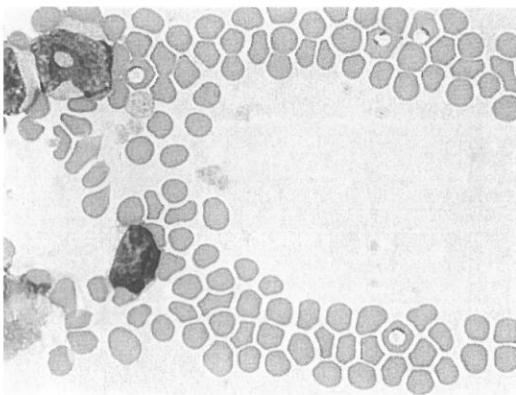
バイチコール滴下試験(オウシマダニ)



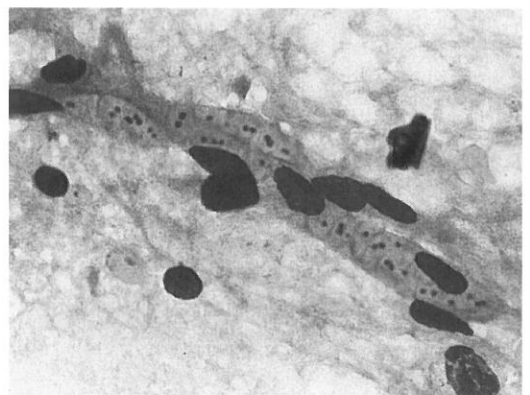
赤血球寄生のバベシア原虫
Babesia bigemina



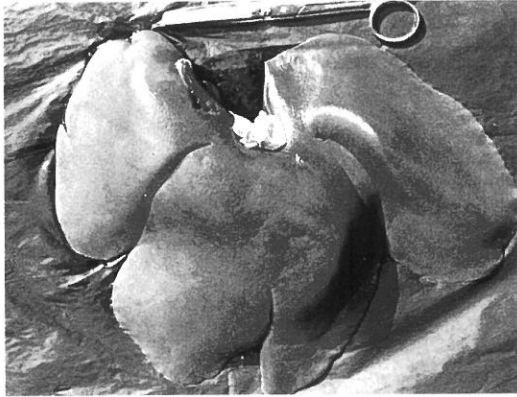
赤血球寄生のアナプラズマ小体
Anaplasma marginale



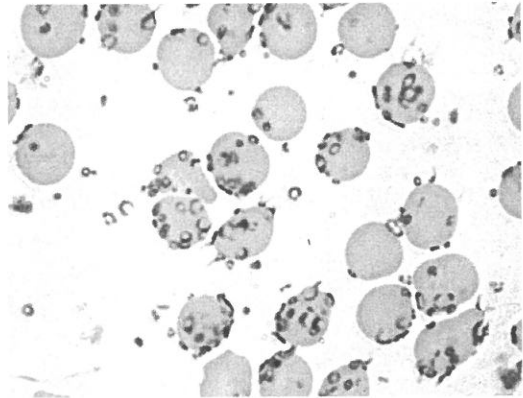
赤血球寄生のバベシア原虫
Babesia bovis (リング型)



脳毛細血管内に集積したバベシア寄生
赤血球 (*Babesia bovis*)



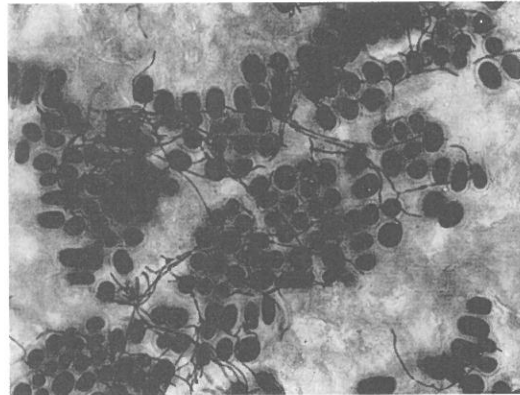
Eperythrozoon suis 感染豚の肝臓、著明な黄疸所見



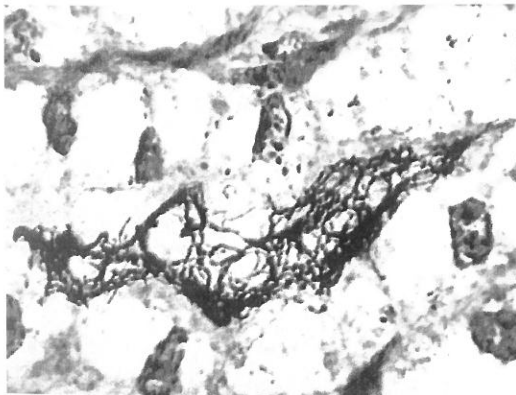
Eperythrozoon suis ×1250 豚血液、増殖極期



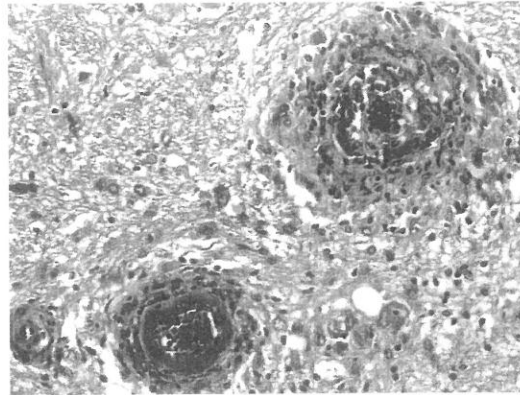
ソテツ中毒牛の脊髄、座骨神経の出血



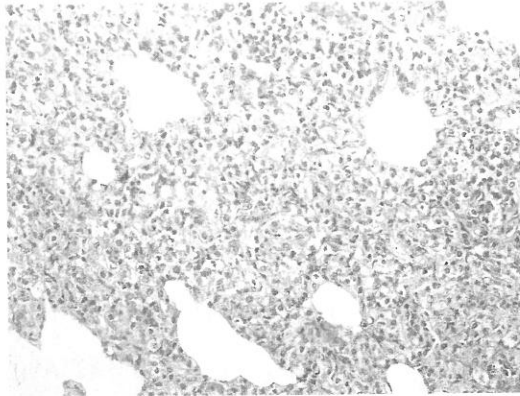
ペレニアルライグラス種子の澱粉層の
エンドファイト様菌糸



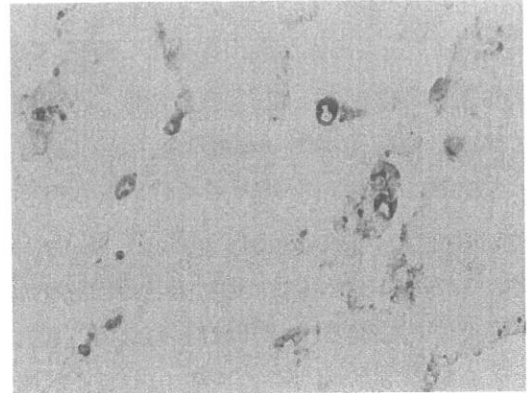
尿細管上皮細胞に付着するレプトスピラ菌体



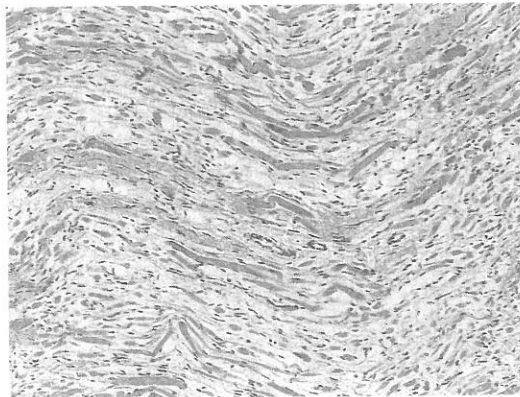
脳脊髄血管症における脳幹部小動脈の変性



慢性呼吸器疾病罹患子豚での肺胞中隔の肥厚



肺胞中隔肺胞マクロファージ内PRRS
ウイルス抗原



アカバネ病による異常産子牛の骨格筋矮小化



脊髓腹角神経細胞質内のアカバネ病ウイルス
抗原